

## $\alpha$ -, $\gamma$ -Tocopherol과 $\gamma$ -tocotrienol의 산화 생성물

### 이 청 옥

한국인삼연초연구소

**초록 :** 유지의 자동산화과정중의  $\alpha$ -,  $\gamma$ -tocopherol과  $\gamma$ -tocotrienol에 대한 주요 산화생성물로 quinone이 확인되었으며, 미량의 dimer 혹은 trimer로 추정되는 성분이 검출되었다. 생성된 quinone은 micro column을 사용하여 분취한 후 np-와 rp-HPLC로 분석하였고 MS로 동정하였다(1992년 11월 2일 접수, 1993년 1월 15일 수리).

토코페롤류의 식품영양학적 의의로는 체내에서의 vitamin E로서의 작용과 유지식품에서의 항산화 작용으로 크게 구별된다.<sup>1)</sup> 이들 토코페롤류는 천연에 주로 유지종자 및 견과류에 많이 함유되어 있으며, 유지산파에 대한 항산화 작용을 갖는 것으로 알려져 있다.<sup>2)</sup> 유지산파에 있어서 주요한 원인의 하나인 자동산화시에 토코페롤류는 free-radical inhibitor로서의 특성을 나타내며, 이는 그 분자구조상 aromatic ring의 폐쇄성 OH-group에 의하는 것으로 설명될 수 있다.<sup>3)</sup> 유지내 함유되어 있는 토코페롤류는 유지의 산화가 진행됨에 따라 스스로 산화된다. 이들 토코페롤류의 산화물에 대하여는 현재까지 주로  $\alpha$ -tocopherol에 관한 연구가 이루어졌으며, 이는 식품유지 중에서 뿐 아니라 cell membrane의 친유성 부분에서도 고찰되고 있어서 그 분석상의 의의가 있는 것으로 보고되고 있다.<sup>4,5)</sup> 최근 여러 연구자들에 의해서 주로  $\alpha$ -tocopherol에 대한 여러 친유성 reaction media에서의 산화가 연구되었으며, 생성된 산화생성물로는 quinone,<sup>6~13)</sup> dimer,<sup>8,14)</sup> trimer<sup>6,8,15,16)</sup> 또는 radical<sup>17)</sup>로 추측되거나 확인 보고된 바 있다. 친수성 reaction media에서의 산화에 대한 최근의 연구로는  $\alpha$ -tocopherol의 산화물로 quinone,<sup>17)</sup> dimer,<sup>18)</sup> tocopheron<sup>19)</sup>이 보고되었다. 본 연구에서는 식용유지의 신선도에 대한 한가지 indicator로서의 활용성을 그 목적으로 제시할 수 있으며, 천연 유지에 함유되어 있는 토코페롤류의 식품영양, 분포상<sup>20)</sup>의 비중이 큰  $\alpha$ -,  $\gamma$ -tocopherol과  $\gamma$ -tocotrienol(이하  $\alpha$ -T,  $\gamma$ -T,  $\gamma$ -T<sub>3</sub>로 표기)의 주요 산화물에 대한 분리 및 동정을 실시하였다.

### 재료 및 방법

### 재료

$\alpha$ -,  $\gamma$ -Tocopherol은 Merck社의 tocopherol-isomer 표준품,  $\gamma$ -tocotrienol은 latex로부터 분리<sup>21)</sup>하여 사용하였다. Linoleic acid methyl ester(95%)는 Sigma社의 제품을 사용하였고, solvent로 methanol, n-hexane, chloroform, 2-propanol, dichloromethane은 Merck社의 HPLC용 용매를 사용하였다.

### 산화반응

토코페롤류의 산화반응과 그 항산화적 특성에 대하여는 보고한 바 있으며,<sup>22,23)</sup> 본 시험에서는 linoleic acid methyl ester 500 mg에  $\alpha$ -T( $\alpha$ -tocopherol),  $\gamma$ -T( $\gamma$ -tocopherol)과  $\gamma$ -T<sub>3</sub>( $\gamma$ -tocotrienol)을 500 ppm 수준으로 첨가시킨 후 유지의 자동산화 범위에 속하는 80°C, 60°C 온도에서 10%, 20% O<sub>2</sub>/N<sub>2</sub>의 가스를 0.5 ml/sec의 유속으로 공급하면서 6시간 동안 산화반응시킨 후 토코페롤 산화물에 대한 분리용 시료로 사용하였다.

### Micro column을 사용한 분획

종래에서는 주로 column chromatography를 분취용으로 이용하여 왔으나,<sup>7,16,18,19,24,25)</sup> 이는 장시간에 걸친 분리를 요하게 되며, 따라서 요구되는 용매의 소비량도 커졌다. 본 실험에서는 np-silicagel(Si)과 rp-C<sub>18</sub>-material로 충진된 1회용 micro column을 사용하였으며, 이동상(mobile phase)의 극성(polarity)를 단계별로 달리하여 Fig. 1과 같이 분획하였다.

### HPLC 및 MS

np-HPLC 분석용으로 Hypersil column, 5 μm, 500 × 4

mm i.d.과 n-hexane + chloroform + 2-propanol(95 : 4.5 : 0.5, v/v/v)을 mobile phase로 사용하였고, rp-HPLC 분석용으로는 Hypersil C<sub>18</sub> column, 5 μm, 250×4 mm i.d.과 methanol + H<sub>2</sub>O(98 : 2, v/v)을 mobile phase로 사용하였다. MS는 Finnigan MAT 8230과 SS 300 Data system을 이용 electron impact method, 70 eV, direct inlet로 분석하였다.

## 결과 및 고찰

### α-Tocopherol의 산화물

80°C/10% O<sub>2</sub> 조건에서의 F<sub>4</sub>(fraction 4, Fig. 1)를 HPLC로 분석한 결과는 Fig. 2와 같다. 그림에서 나타난 바와 같이 A로 표시한 성분은 np-HPLC로 완전히 분리되지 않았으므로, A 분획을 rp-HPLC로 분석하였다. Fig. 2에서 나타난 바와 같이 2종의 α-T의 반응생성물이 그 주요 생성물로 분리되었으며(A<sub>1</sub>, A<sub>2</sub>), A<sub>2</sub>는 MS로 분석한 결과 α-tocopherylquinone으로 확인되었다(Fig. 3). 또한

A<sub>1</sub>는 그 peak의 chromatogram에 나타난 retention time으로 보아 α-tocopherylhydroquinone으로 추정된다.<sup>26)</sup> 또한 80°C/10% O<sub>2</sub>에서의 경우 A<sub>2</sub>-피크면적은 80°C/20% O<sub>2</sub>에 비하여 3배 크게 나타났으며, 이 두 조건에서 산화되지 않고 남아있는 순수한 α-T는 검출되지 않았다. 60°C/20% O<sub>2</sub>에서의 산화시료에서는 F<sub>2</sub>(fraction 2, Fig. 1)에서 rp-HPLC 분석결과 295 nm에서 dimer 또는 trimer로 추정되는 peak를 확인할 수 있었으나, 그 양이 극미량이었으므로 동정은 불가능하였다.

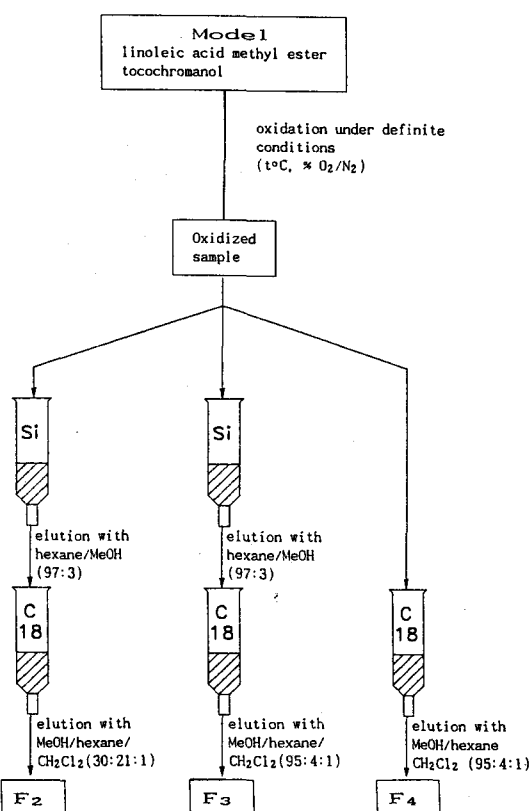


Fig. 1. Schematic process for fractions preparation of oxidation product of α-tocopherol, γ-tocopherol and γ-tocotrienol using micro column.

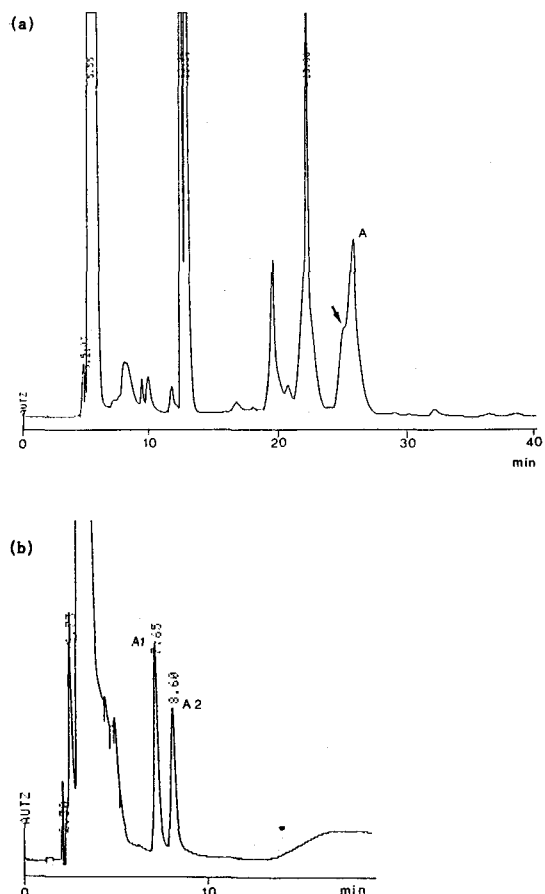


Fig. 2. HPLC chromatogram of reaction product for α-T: α-T(250 μg) with linoleic acid methyl ester (500 mg) at 80°C/10% O<sub>2</sub>, 6 hr oxidized. (a) np-HPLC, conditions: column, Hypersil, 5 μm, 500×4 mm i.d.; mobile phase, n-hexane + chloroform + 2-propanol(95 : 4.5 : 0.5, v/v/v); flow rate, 1.0 ml/min; detection, UV 268 nm, 0.05 AUFS; (b) rp-HPLC, conditions: column, Hypersil C<sub>18</sub>, 15 μm, 250×4 mm i.d.; mobile phase, methanol + H<sub>2</sub>O(98 : 2, v/v); flow rate, 1.0 ml/min; detection, UV 265 nm, 0.0001 AUFS.

### γ-Tocopherol의 산화물

80°C/20% O<sub>2</sub> 조건에서의 F<sub>4</sub>(fraction 4, Fig. 1)에서 α-T의 경우와 동일한 분석조건으로 np-HPLC로 분석하였으며 B 분획을 rp-HPLC로 분석하였다(Fig. 4). B는 MS 분석결과 γ-tocopherylquinone으로 확인되었다(Fig. 5). HPLC peak 면적을 비교하여 볼 때 동일 산화조건에서 (80°C/10% O<sub>2</sub>), γ-tocopherylquinone은 α-tocopherylquinone에 비하여 15배 큰 것으로 나타나서 그 생성량이 월등히 높은 것으로 나타났다. 또한 rp-HPLC 295 nm에서 γ-tocopherol의 dimer로 추정되는 성분을 미량 검출하였다.

### γ-Tocotrienol의 산화물

80°C/20% O<sub>2</sub> 조건에서의 F<sub>4</sub>(fraction 4, Fig. 1)에서 α-T와 동일한 분석조건으로 np-HPLC로 분석하였으며, C 분획을 rp-HPLC로 분석하였다(Fig. 6). C는 MS 분석결과 γ-tocotrienylquinone으로 확인되었다(Fig. 7). 동일 산화 조건에서(80°C/20% O<sub>2</sub>), rp-HPLC chromatogram 상에 나타난 peak 면적비를 비교하여 볼 때 γ-tocopherylquinone에 비하여 약 1/2의 적은 양을 나타내어, quinone 으로의 산화정도가 약 1/2인 것으로 고찰되었다. 60°C/20% O<sub>2</sub> 조건에서의 F<sub>2</sub>(fraction 2, Fig. 1)에서 rp-HPLC 295 nm에서 γ-tocotrienol의 dimer and/or trimer로 추정되는 2개의 성분이 검출되었다.

### 고찰

본 실험에서 사용한 자동산화과정중의 토코페롤류의

농도는 500 ppm으로써 이는 식용유지에 자연상태로 함유되어 있는 토코페롤의 농도에 근사한 값이다.<sup>20)</sup> MS로

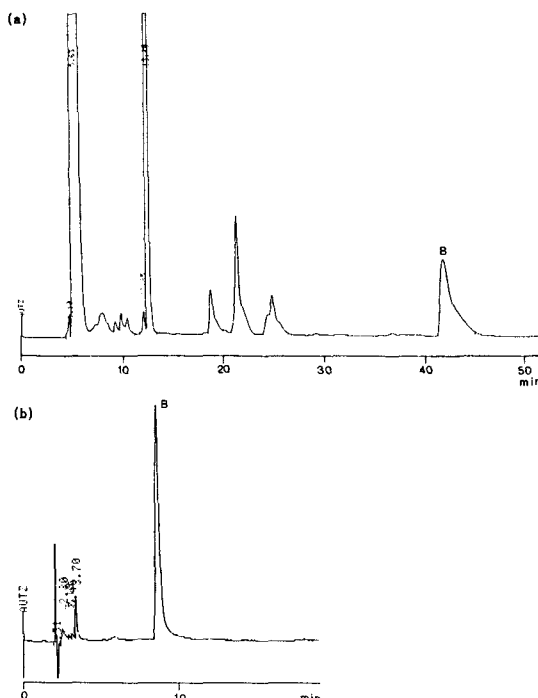


Fig. 4. HPLC chromatogram of reaction product for γ-T: γ-T(250 µg) with linoleic acid methyl ester (500 mg) at 80°C/20% O<sub>2</sub>, 6 hr oxidized. (a) np-HPLC, conditions: same as in Fig. 2; (b) rp-HPLC, conditions: same as in Fig. 2.

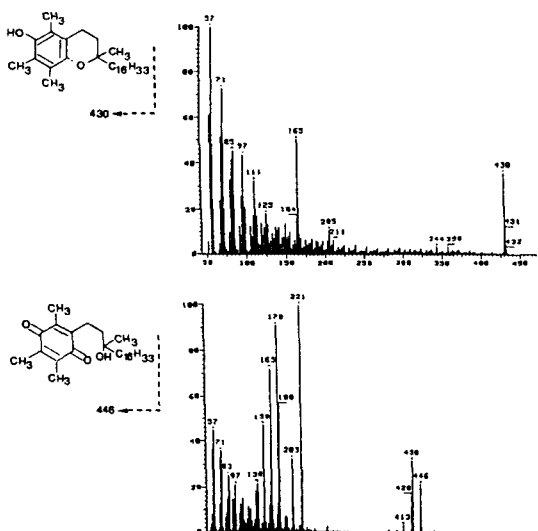


Fig. 3. Mass spectrum of α-T and α-tocopherylquinone (peak A<sub>2</sub>) MS-conditions: refer to the text.

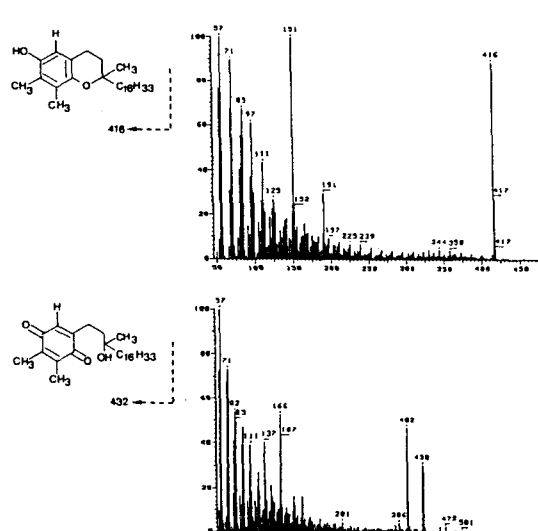


Fig. 5. Mass spectrum of γ-T and γ-tocopherylquinone (peak B) MS-conditions: refer to the text.

미확인된 dimer and/or trimer로 추정되는 성분은 Csalany 등<sup>24)</sup>에 의해서 확인된 바 있는 50%(w-%)의 고농도  $\alpha$ -tocopherol을 유지내에서 산화시켰을 때 검출된 성분과 일치할 것으로 판단된다. 주요 산화생성물로 확인된 qui-

none은  $\alpha$ -tocopherol을 모델로 하여 Gottstein 등<sup>6)</sup>에 의하여 제시된 가설에 따라 Fig. 8과 같은 경로를 거쳐 다음과 같이 생성될 것으로 설명할 수 있을 것이다.

즉  $\alpha$ -T의 OH-group으로부터 1개의 수소원자를 지방 산의 peroxy radical에 주고, 생성된 chromanoxy radical(a)는 개환되어 p-quinone alkyl radical(b)이 되고, 이어 peroxy radical(c)을 거쳐서 hydroperoxide(d)로 산화된다. 이 hydroperoxide의 fragmentation과 H-abstraction으로  $\alpha$ -tocopherylquinone이 형성된다. 이러한  $\alpha$ -tocopherylquinone은 Cillard 등<sup>25)</sup>에 의해서도  $\alpha$ -T의 주요 산화생성물임이 보고된 바 있다. 80°C/20% O<sub>2</sub>와 80°C/10% O<sub>2</sub> 조건에서의 peak 면적을 비교해 볼 때, 생성된  $\alpha$ -tocopherylquinone이 계속 산화된 것으로 추정할 수 있다. 80°C/20% O<sub>2</sub> 조건에서의  $\gamma$ -T와  $\gamma$ -T<sub>3</sub>는  $\alpha$ -T에 비하여 많은 양의 quinone을 생성하였다(peak 면적비 15배). 또한 이  $\gamma$ -T와  $\gamma$ -T<sub>3</sub>의 경우에 있어서는 상기의 같은 조건에서 생성된 산화물중 산화되지 않고 남아있는 순수한  $\gamma$ -T와  $\gamma$ -T<sub>3</sub>가 검출되지 않았으나, 이 조건에서도 항산화성이 있음이 확인되었다.<sup>22)</sup> 이는  $\gamma$ -T와  $\gamma$ -T<sub>3</sub>에서 생성된 산화물인 quinone도 항산화성이 있음을 의미한다. Quinone의 OH-group이 갖는 H-donor-activity가 미약함을 비추어 볼 때 이를 쉽게 해석하기는 어려우나, semi quinone radical의 생성을 고려한다면 이 radical을 통해서 자동산화의 연쇄반응이 억제될 수 있는 것으로 설명된다.<sup>26)</sup> 결론적으로 특히  $\gamma$ -T의 경우에는 생성된

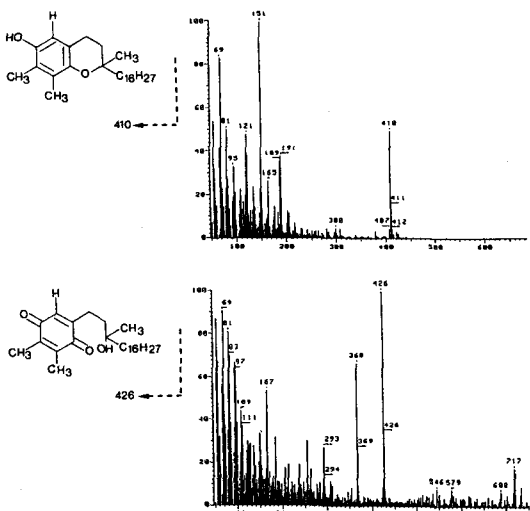


Fig. 6. HPLC chromatogram of reaction product for  $\gamma$ -T:  $\gamma$ -T(250  $\mu$ g) with linoleic acid methyl ester (500 mg) at 80°C/20% O<sub>2</sub>, 6 hr oxidized. (a) np-HPLC, conditions: same as in Fig. 2; (b) rp-HPLC, conditions: same as in Fig. 2.

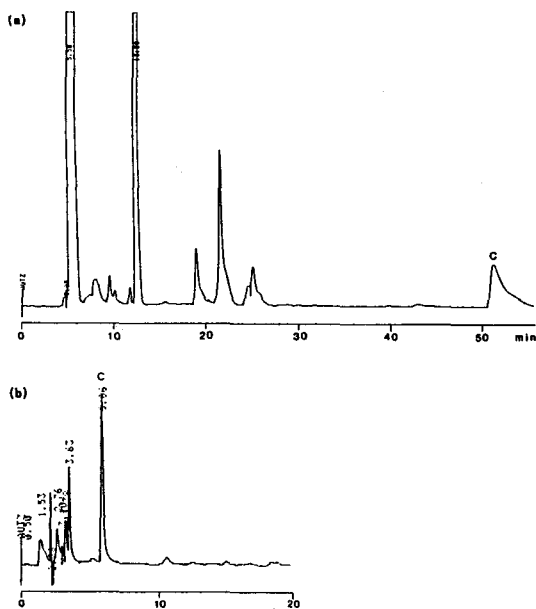


Fig. 7. Mass spectrum of  $\gamma$ -T<sub>3</sub> and  $\gamma$ -tocotrienylquinone (Peak C) MS-conditions: refer to the text.

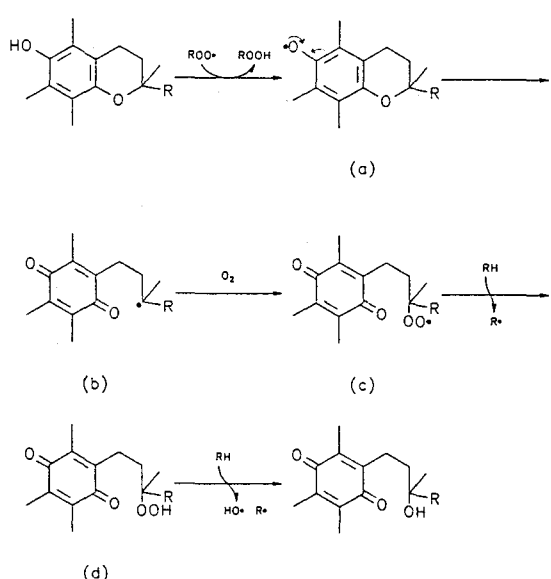


Fig. 8. Hypothetic pathway for production of  $\alpha$ -tocopherylquinone at antioxidative reaction of  $\alpha$ -tocopherol.<sup>6)</sup>

산화물도 항산화성이 있는 것으로 확인되었으므로, 자동산화과정중의 항산화제로써 고려할 가치가 있는 것으로 고찰된다.

### 참 고 문 헌

1. 김동훈: 식품화학, 495, 탐구당(1990)
2. Belitz, H.-D. and Grosch, W.: In "Lehrbuch der Lebensmittelchemie", p.193, Springer-Verlag, Berlin, 1985
3. Mahoney, L. R.: Ang. Chem., 81 : 555(1969)
4. Urano, S., Yamanoi, S., Hattori, Y., Matsuo, M.: Lipids, 12 : 105(1977)
5. Niki, E., Takahashi, M. and Komuro, E.: Chem. Letters, 1573(1986)
6. Gottstein, T. and Grosch, W.: Fat Sci. Technol., 92 : 139(1990)
7. Csallany, A. S., Draper, H. H. and Shah, S. N.: Arch. Biochem. Biophys., 98 : 142(1962)
8. Suarna, C., Nelson, D. and Southwell-Keely, P.T.: Lipids, 23 : 1129(1988)
9. Bieri, J. G. and Farrel, P. M.: Vitamins and Hormons, 34 : 31(1976)
10. Bieri, J. G. and Tolliver, T. J.: Lipids, 16 : 777(1981)
11. Vatassery, G. T. and Smith, W. E.: Anal. Biochem., 167 : 411(1987)
12. Vatassery, G. T.: Lipids, 24 : 299(1989)
13. Vatassery, G. T., Smith, W. E. and Quach, H. T.: Lipid, 24 : 1043(1989)
14. Csallany, A. S. and Draper, H. H.: Arch. Biochem. Biophys., 100 : 335(1963)
15. Yamauchi, R., Kato, K. and Ueno, Y.: Lipids, 23 : 779(1988)
16. Draper, H. H., Csallany, A. S. and Chiu, M.: Lipids, 2 : 47(1967)
17. Widicus, W. A. and Kirk, J. R.: J. Food Sci., 46 : 818 (1981)
18. Cillard, J., Gobaille, J. and Cillard, P.: J. Chromatogr., 347 : 434(1985)
19. Yamauchi, R., Matsui, T., Satake, Y., Kato, K. and Ueno, Y.: Lipids, 24 : 204(1989)
20. Coors, U.: Fat Sci. Technol., 93 : 519(1991)
21. Lee, H.-O: 미발표
22. Lee, H.-O. and Montag, A.: Fat Sci. Technol., 94 : 213(1992)
23. Lee, H.-O. and Montag, A.: Fat Sci. Technol., 95, in Press
24. Csallany, A. S., Chiu, M. and Draper, H. H.: Lipids, 5 : 63(1970)
25. Ha, Y. L. and Csallany, A. S.: Lipids, 23 : 359(1988)
26. Boyer, P.: J. Amer. Chem. Soc., 73 : 733(1951)
27. Cillard, J., Cillard, P., Cormier, M. and Girre, L.: JAOCs, 57 : 252(1980)
28. Täufel, K., Kretzschmann, F. and Franzke, C.: Fette Seifen Anstrichmittel, 62 : 1061(1960)

### Oxidations product of $\alpha$ -, $\gamma$ -tocopherol and $\gamma$ -tocotrienol

Hyung-Ok Lee (Korea Ginseng and Tobacco Research Institute, Taejeon 305-345, Korea)

**Abstract:** Oxidations products of  $\alpha$ -tocopherol,  $\gamma$ -tocopherol and  $\gamma$ -tocotrienol in lipophilic reaction media were studied.  $\alpha$ -Tocopherylquinone,  $\gamma$ -tocopherylquinone and  $\gamma$ -tocotrienylnone were fractionated using micro column, isolated and identified by HPLC and MS.